

VII Simposio Español de Estudios Polares - Programa (Granada, 18-20 septiembre 2006)

	Lunes, 18	Martes, 19	Miércoles, 20
8.00 - 9.00	Inscripción y/o recogida de documentación		
9.00 - 10.00		Conferencia Alan Green Terrestrial biodiversity and latitude: studies from the Ross Sea region, Antarctica	Conferencia Peter Barrett Antarctic earth science perspective on the past and future climate
	Apertura (9.30)	Ramos, A. et al. Yela et al.	Torta et al. de los Ríos et al.
10.00 - 11.00	Conferencia John Turner Recent climate change in the polar regions	Ramos, M. et al.	García, M. et al.
	Berrocoso et al.	Navarro	Domínguez y Eraso
11.00 - 11.30	Café	Café	Café
11.30 - 12.30	Avila et al. López-Martínez et al. Vaqué et al.	Pijoan et al. Montes et al. Gili et al.	El Programa Polar Español
12.30 - 13.30	López-Puertas et al. Quesada et al.	Flores et al.	
13.30 - 14.00	Maldonado et al. García Sancho et al.	Gestión de datos polares (12.50) <i>Centro Nacional de Datos Polares (Mesa redonda)</i>	Clausura
	Comida (Libre)	Comida (Libre)	
16.00-17.00	Gomis et al. Sangrà et al. Ibañez et al.	Barbosa Paredes et al. Cámara et al.	
17.00-18.00	Presentación Comité SCAR	Presentación Año Polar Internacional	
18.00-18.30	Interviene C. Summerhayes	Interviene D. Carlson	
18.30-19.30	Merienda y Paneles	Merienda y Paneles	
19.30-20.00			
21.30	Recepción en Carmen de la Victoria	Cena (Hotel Luna de Granada)	

El VII Simposio Español de Estudios Polares (Granada 18-20 de septiembre de 2006) se desarrolla en la Facultad de Ciencias de la Universidad de Granada.

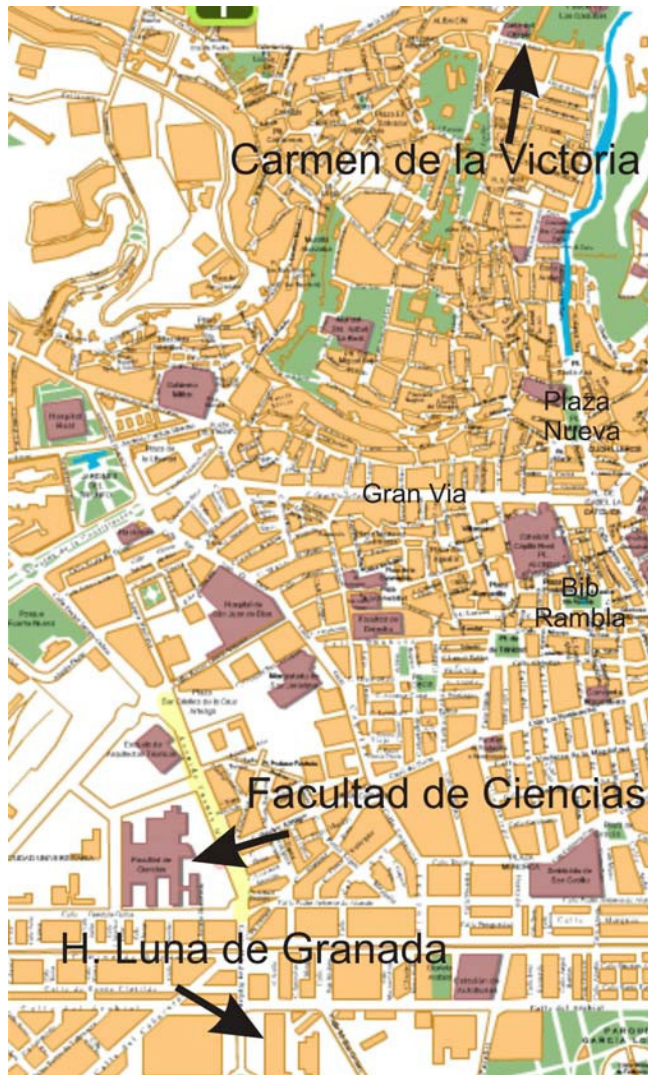
Las sesiones orales tendrán lugar en el Aula Magna de dicha Facultad y los paneles se dispondrán en el vestíbulo de la entrada principal, según el programa que se adjunta. Los paneles pueden ser expuestos durante todo el simposio, aunque se destinan dos sesiones específicas para la discusión de los mismos.

En el último momento, los paneles que nos han suministrado no son los tableros de 2,40 m previstos sino de 1,60 m, por lo que se ruega ajustar las presentaciones a los bordes interiores de cada doble tablero en V. Se ha dejado espacio entre cada dos tableros en V sucesivos para que las presentaciones en las partes exteriores puedan exceder moderadamente del tamaño del panel. Se dispone de algunos paneles adicionales por si en algún caso fuese imposible el montaje.

La inscripción incluye tanto los cafés de los descansos (sala situada junto a la entrada de la cafetería de la Facultad de Ciencias, donde además estará instalada la secretaría del simposio) así como las meriendas (parte reservada en el bar de la Facultad de Ciencias). También incluye tanto la recepción en el Carmen de la Victoria y la cena en el hotel Luna de Granada, aunque en ambos casos se requiere la confirmación por parte de los asistentes para conocer el número de participantes. Para cafés, meriendas, recepción y cena será necesario presentar la identificación de participación en el congreso.

El Carmen de la Victoria (Cuesta del Chapiz, 9), es una residencia universitaria frente a la Alhambra cuya posición se indica en el plano adjunto. La recepción será en los jardines. Está situado en el Albaicín, que es una zona de transporte particular restringido por lo que se puede acceder bien a pie (algo más de media hora desde la Facultad de Ciencias) a través de la plaza Bib-Rambla o la Gran Vía para seguir junto al río Darro hasta la Cuesta del Chapiz, o mediante microbuses urbanos, desde Gran Vía o Plaza Nueva.

El hotel Luna de Granada está situado muy cerca de la Facultad de Ciencias, en la salida hacia la Circunvalación.



Conferencias invitadas

John Turner (British Antarctic Survey, UK)-

Recent Climate Change in the Polar Regions

Analyses of the surface meteorological observations suggest that the near-surface air temperature of the Earth has increased by approximately 0.6 C over the last century. However, the patterns of surface change across the Earth in the instrumental era are complex and sensitive to the period that is examined. There are continuing increases in surface temperatures, losses of sea ice and tundra, and warming of permafrost over broad areas of the Arctic, while most of the major increase in Antarctic temperatures is on the Antarctic Peninsula associated with sea ice loss in the Bellingshausen-Amundsen Seas sector.

While both natural atmospheric and oceanic variability, and changes in external forcing including increased greenhouse gas concentrations, must be considered in the quest for understanding such changes, the interactions and feedbacks between system components are particularly strong at high latitudes.

For the 1950s to date in the Arctic and 1957 to date in the Antarctic, positive trends in large scale atmospheric circulation represented by the Arctic and Antarctic Oscillations (AO and AAO) and the Pacific North American (PNA) pattern contribute to the long-term temperature trends.

However, continuing Arctic trends during the last decade of near neutral AO will require alternate explanations, including why record low levels of sea ice occurred in the early years of this century.

Allan Green (Waikato University, NZ)-

Terrestrial biodiversity and Latitude: studies from the Ross Sea region, Antarctica

In recent years there has been growing interest in determining what factors control changes in terrestrial biodiversity with latitude in Antarctica. Two major programmes, RiSCC (Regional Sensitivity to Climate Change) and LGP (Latitudinal Gradient Project) were started to try to improve our understanding of the interactions between biodiversity, functioning and climate of Antarctic terrestrial and limnetic ecosystems. The underlying aim in both is to predict regional sensitivity to the impacts of climate change using, in part, the existing clines in biodiversity as a proxy for future climate changes. Put simply, at any site the expected community after climate change will already exist elsewhere on the cline.

Results will be presented from several New Zealand studies which are linked to the LGP and which have been carried out and over a latitudinal range from 72° to 84° South. An important general question is whether the existing biodiversity is actually in some sort of equilibrium with the environment. If the answer is no, then the ability to predict change is much more difficult.

Terrestrial vegetation diversity has been studied at many sites and the results do not support a cline with latitude within the Ross Sea region. Rather a situation that has been called 'Garden of Eden' exists, where the vegetation at any point seems to represent a new colonisation with its own particular structure. Physiological studies have also been difficult to apply to predicting change because inter-annual variation at one site can exceed the latitudinal variation between sites. Few studies have been carried out over the full length of an active season but results from Cape Hallett suggest that significant changes in photosynthetic rates of mosses can occur in a few weeks and these will complicate any comparisons. Are we actually studying the correct 'stress', for plants light may be more of a problem than the cold.

Added to these problems is the importance of history. Populations may not represent recent colonisations but may be relics from some previous time or with their distributions reflecting historic rather than present situations. The American LTER (Long Term Ecological Research) site in the Taylor valley has certainly revealed the probable importance of 'legacy' effects on soil productivity, but other legacies may also exist.

Overall, it may be that the strength of RiSCC and LGP is that they have provided the framework that has revealed the biodiversity to be in unexpectedly complex situation rather than forming an orderly cline with latitude.

Peter Barrett (Victoria University of Wellington, NZ)

Antarctic earth science perspective on the past and future climate

The history of Antarctic earth science over the last 50 years has been one of exploration and discovery in the best tradition of the Antarctic Treaty - a continent for peace and science. In the latter part of this period investigations in Antarctic and elsewhere around the earth have revealed a new and unforeseen threat, with rising CO₂ levels surpassing those of the last 25 million years ago, and beginning to change climate as a consequence. Geological records from the distant warmer past show beech forests around the Antarctic coast, and indicate a more or less ice-free continent more than 34 million years ago. How long before it returns to that state? One of SCAR's flagship research programmes "Antarctic Climate Evolution" now focusses on improved understanding of the behaviour of the Antarctic ice sheet when the earth was warmer by integrating geological data with computer modelling. This is giving us a perspective from the past that, with its companion programme "Antarctica and the Global Climate System" is useful in gauging the recent effects of rising CO₂ on the continent itself. In the past, public interest in the Antarctic lay in the discoveries from the most remote continent on earth. In the future it may well lie in tracking the changes to the Earth's last permanent ice sheet, and providing insights for its long term sustainability.

VII Simposio Español de Estudios Polares

Comunicaciones orales

(Aula Magna, Fac. Ciencias Granada, 15 min. exposición + 5 min. preguntas)

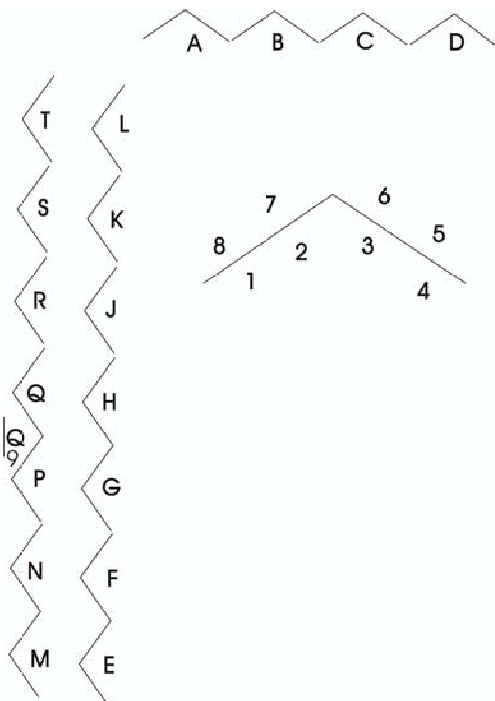
Avila, C., Taboada, S., Núñez, L.	L, 18
Ecología química de invertebrados bentónicos antárticos	11.30-11.50
Barbosa, A.	M, 19
Dieciséis años entre pingüinos: resultados de los proyectos sobre biología de pingüinos antárticos	16.00-16.20
Berrocoso, M., Ramírez, M.E., Fernández-Ros, A., Torrecillas, C., Enríquez-Salamanca, J.M., Pérez-Peña, A., Páez, R., Jiménez, Y., González-Fuentes, M.J., Sánchez-Alzola, A., García-García, A., Tárraga, M., García-García, F.	L, 18
Diseño, desarrollo, objetivos y estado actual de las redes geodésicas establecidas en la Antártida durante las campañas antárticas españolas	10.40-11.00
Cámara, P., Masqué, P., García-Orellana, J.	M, 19
El papel del hielo marino del Océano Ártico como mecanismo de transporte de radionúclidos	16.40-17.00
de los Ríos, A., Wierzchos, J., Sancho, L.G., Ascaso, C.	X, 20
Ecosistemas microbianos litobióticos de la Antártida Continental	10.00-10.20
Domínguez, M.C., Eraso, A.	X, 20
Registro continuo de la descarga glaciar mediante Cuencas Piloto Experimentales	10.40-11.00
Flores, J.A., Filippelli, G.M., Sierro, F.J., Latimer, J., Murria, R.W.	M, 19
Paleoproduktividad y dinámica oceánica del sector Atlántico del océano Austral durante el Pleistoceno medio	12.30-12.50
García, M., Anderson, J.B., Ercilla, G., Alonso, B.	X, 20
Estratigrafía sísmica reciente del margen continental de la Cuenca de Bransfield, Península Antártica	10.20-10.40
García Sancho, L., Green, A., Pintado, A., Schroeter, B.	L, 18
Avances en ecología vegetal en la Antártida. Adaptación de líquenes y musgos a ambientes extremos	13.30-13.50
Gili, J.M., Orejas, C., Zabala, M., Alvá, V., López-González, P.J., Ros, J.D., Filipe, P., Teixidó, N., Rossi, S., Alfonso, I., Sabater, F., Rodríguez, E., Isla, E., Gasol, J.M., Pagès, F., Pedros-Alió, C., Vert, N., Conradi, M., Mejina, C., Vendrell, B., Homs, P.	M, 19
Una visión integrada de las comunidades bentónicas marinas de la alta Antártida: diez años de estudios en el Mar de Weddell en el marco del Programa EASIZ	12.10-12.30
Gomis, D., Flexas, M.M., Orsi A.H., García-Lafuente, J., Vargas J.M., Pelegrí J.L., Julià, A., Jordá, G., Pascual, A., Ruiz, S., Montserrat, S., Marcos, M., Orfila, A., Casas, B., Tovar, A., Arrieta, J.M., Agawin, N.S., Calleja, M.Ll., Lasternas, S., Carrillo, N., Slowey N.C., Yvon-Lewis, S., Delgado, J., Criado, F., Sánchez, A.J., Emelianov, M., Machín, F.J., Gaviño, J.H.	L, 18
ESASSI: la contribución española al proyecto SASSI (IPY)	16.00-16.20
Ibañez, J. Almendros, J., Carmona, E., Zandomeneghi, D.	L, 18
La actividad sismovolcánica reciente en la Isla Decepción	16.40-17.00
López-Martínez, J., Serrano, E., Maestro, A., Durán, J.J., Navas, A. y grupo GEA-UAM	L, 18
Contribución al conocimiento de la geomorfología y la geología de las Islas	11.50-12.10

	Shetland del Sur y aportaciones a la cartografía temática	
López-Puertas, M., Funke, B., Gil-López, S., Bermejo, D., Clarmann, T.V., Fischer, H., Grabowski, U., Kellmann, S., Linden, A., Reddmann, T., Stiller, G., Sinnhuber, M.	Observation of the polar middle atmosphere during 2002-2004 by MIPAS/Envisat	L, 18 12.30-12.50
Maldonado, A., Barnolas, A., Bohoyo, F., Galindo-Zaldívar, J., Gambôa, L., Gulmezova, E.L., Hernández-Molina, F. J., Jabaloy,A., Larter, R., Livermore, R.A. Lobo, F.J., Medialdea, T., Nelson, H., Puga, E., Rodríguez-Fernández, J. , Schreider, A.A., Somoza, L., Suriñach, E., Vázquez, J.T.	Evolución de cuencas oceánicas, paleoceanografía y cambio global en los márgenes de la Península Antártica, Mar de Weddell y Mar de Scotia (Antártida)	L, 18 13.10-13.30
Montes, M., Martín-Serrano, A., Nozal, F., Del Valle, R.	Geología del NE de la Península Tabarín (Bahía Esperanza, Península Antártica)	M, 19 11.50-12.10
Navarro, F.	Investigaciones glaciológicas combinando georadar, observaciones de dinámica glaciar y de balance de masas, y simulaciones numéricas	M, 19 10.40-11.00
Paredes, C., Giner-Robles, J. L., de la Vega, R., Pérez-López, R., Martínez-Díaz, J.J., de Vicente, S.	El sistema de fallas activas de Isla Decepción: modelización conceptual, matemática y numérica	M, 19 16.20-16.40
Pijoan, J.L., Vilella, C., Deumal, M., Bregada, P., Gutiérrez, I., Aquilué, R., Badia, D., Graells, S., Miralles, D., Torta, J.M., Altadill, D.	Actividades y resultados de Ingeniería La Salle en la Antártida (2003-2006)	M, 19 11.30-11.50
Quesada, A., Camacho, A., Fernández-Valiente, E., Rico, E., Toro, M., Justel, A., Bañón, M., Marco, E., Rochera, C.	Ecosistemas acuáticos no marinos de la Antártida como sensores del Cambio Climático Global y modelos para el análisis ecológico: Proyecto LIMNOPOLAR	L, 18 12.50-13.10
Ramos, A. y equipo Bentart	Los Proyectos Bentart: Resumen de casi veinte años de investigación sobre la biodiversidad del bentos antártico	M, 19 09.40-10.00
Ramos, M., Vieira, G., Neves, M., Mora, C., Gruber, S., Hauck, C., Hoelzle, M., Blanco, J.J., Ortiz, R., Hidalgo, M.A., Tomé, D. and García, J.A.	Evolución térmica y balance de energía en la capa activa. Experiencias y perspectivas	M, 19 10.20-10.40
Sangrà, P., Lubián, L., Hernández-León, S., Vázquez, E., Gordo, C., Corzo, A., Rodríguez-Santana, A., García, C.M., Rodríguez-Gálvez, S., Almeida, C., Putzeys, S., Becognée, P., Macho, G., Bellas, J., Martínez-Castro, C., Antoranz, A., Cortes, J.	Variabilidad a mesoscala en la parte central del Estrecho de Bransfield: Acoplamiento Físico-Biológico	L, 18 16.20-16.40
Torta, J.M., Alberca, L.F., Altadill, D., Apostolov, E.M., Bianchi, C., Blanch, E., Casas, B.J., Curto, J.J., De Santis, A., García, A., Gaya, L.R., Marsal, S., Pijoan, J.L., Seguí, J., Solé, J.G., Ugalde, A., Vilella, C.	Actividades y resultados del Observatorio del Ebro en la Antártida (1995-2006)	X, 20 09.40-10.00
Vaqué, D. y Departament de Biología Marina i Oceanografía	Doce años de investigación sobre la función, diversidad y metabolismo de las redes planctónicas en los océanos polares	L, 18 12.10-12.30
Yela, M., Alonso, I., Araujo, J., Deferrari, G., Díaz, S., Gil, M., Iglesias, J., de Mingo J.R., Navarro, M., Parrondo, C., Puentedura, O., Ochoa, H., Rodríguez, S.	Estudio de los procesos que intervienen en la disminución del ozono en la Antártida y en latitudes polares del Hemisferio Norte	M, 19 10.00-10.20

VII Simposio Español de Estudios Polares

*Comunicaciones en paneles
(Vestíbulo, entrada principal, Facultad de Ciencias)*

En el último momento, los paneles que nos han suministrado no son los tableros de 2,40 m previstos sino de 1,60 m, por lo que se ruega ajustar las presentaciones a los bordes interiores de cada doble tablero en V. Se ha dejado espacio entre cada dos tableros en V sucesivos para que las presentaciones en las partes exteriores puedan exceder moderadamente del tamaño del tablero. Se dispone de algunos tableros adicionales por si en algún caso fuese imposible el montaje.



- D-5-Abia, C., Domínguez, I., Isern, J., Colomé, J. and the IRAIT team The IRAIT Project: an Infrared Robotic Telescope in the Antarctic Plateau (Dome C)
- D-6.- Albero Molina, J.V., Ortiz de Galisteo Marín, P., Bañón García, M., García Ayala, J.J. Instalaciones del INM en las bases españolas
- C-4.- Alcoverro Franquet, D. Evolución del sistema de depuración de la Base Antártica Española "Juan Carlos I" durante las campañas 2000-2001 a 2005-2006
- G-1.- Aldea, C., Vazquez, E., Troncoso, J.S. Malacofauna recolectada en la Campaña Antártica CIEMAR 99/00
- R-5.- Alfaro, P., Maestro, A., López-Martínez, J., Durán, J.J. Tectónica reciente en la Península Byers, Isla Livingston, Islas Shetland del Sur
- S-4.- Almendros, J., Luzón, F. Determinación de la estructura superficial de velocidad del volcán Isla Decepción (Antártida) mediante la autocorrelación espacial de ruido sísmico
- T-1.- Almendros, J., Abella, R. Estimación precisa del vector lentitud aparente relativo mediante antenas sísmicas: Un test del método RelSE con fuentes sísmicas activas
- L-5.- Ameneiro, J., Vázquez, E., Putzeys, S., Gordo, C., Sangrà, P. Factores hidrológicos que afectan a la distribución del meroplanton en el Estrecho de Bransfield, Antártida. Resultados de la campaña BREDDIES 02/03
- D-7.- Bañón García, M., Ortiz de Galisteo, P., Albero Molina, J.V. Observaciones meteorológicas en la BAE Juan Carlos I
- F-1.- Barbosa, A., Palacios, M.J., Valera, F. Variación de la coloración del pico en el pingüino papúa Pygoscelis papúa

- C-1.- Barragán Sanabria, A., Bermúdez Molina, O., Ramos García, S. El Centro Nacional de Datos Polares Español
- Q-3.- Benjumea, B., Navarro, F., Macheret, Y., Teixidó, T. Investigaciones en el glaciar Johnsons (Isla Livingston, Antártida) combinando técnicas sísmicas y de georradar
- B-3.- Bermúdez Molina, O., Barragán Sanabria, A., Ramos García, S. Año Polar Internacional 2007-2008: Establecimiento de una Política de Datos
- B-4.- Bermúdez Molina, O., Barragán Sanabria, A., Ruiz Valderrama, J.L., Sorribas Cervantes, J. Diseño de una infraestructura para la gestión y almacenamiento de datos en el ámbito de la investigación polar española
- A-7.- Berrocoso, M., González-Bielsa, C., Páez, R., Sánchez-Alzola, A., García-López, S., Torrecillas, C. Actualización del mapa topográfico Isla Decepción 1:25.000 y nuevos productos cartográficos para la isla Decepción
- A-8.- Berrocoso, M., Jiménez, Y., Enríquez-Salamanca, J.M., Ramírez, M.E. Determinación de la superficie física de referencia para la isla Decepción a partir de observaciones GPS, medidas de nivelación y medidas gravimétricas
- A-1.- Berrocoso, M., Páez, R., Sánchez-Alzola, A., González-Bielsa, C., Torrecillas, C. Aplicaciones de la Cartografía Espacial de Precisión a estudios científicos en la isla Decepción
- A-2.- Berrocoso, M., Ramírez, M.E., Fernández-Ros, A., Sánchez-Alzola, A., Pérez-Peña, A. Modelos de deformación volcano-tectónicos en la isla Decepción
- A-3.- Berrocoso, M. y Torrecillas, C. Diseño, metodología y desarrollo de un Sistema de Información Multidisciplinar de Apoyo Científico (SIMAC) para la isla Decepción (Antártida)
- E-5.- Blanco, J.J., Ramos, M., Vieira, G., Gruber, S., Hauck, C. Periodicity in the Active Layer Temperature Regime, Livingston Island (Antarctic Peninsula)
- T-5.- Bohoyo, F., Galindo-Zaldívar, J., Hernández-Molina, F.J., Jabaloy, A., Lobo, F.J., Maldonado, A., Rodríguez-Fernández, J., Schreider, A.A., Somoza, L., Suriñach, E., Vázquez, J.T. Fragmentación continental y desarrollo de cuencas oceánicas entre los mares de Weddell y Scotia: Influencia en el clima global
- T-6.- Bohoyo, F., Galindo-Zaldívar, J., Hernández-Molina, F.J., Jabaloy, A., Lobo, F.J., Maldonado, A., Rodríguez-Fernández, J., Schreider, A.A., Somoza, L., Suriñach, E., Vázquez, J.T. Deformaciones en extensión y desarrollo de cuencas profundas asociadas a la zona de falla transcurrente sinistra del límite de placas Scotia-Antártica
- T-7.- Bohoyo, F., Livermore, R. The morphology of the East Scotia Ridge from swath bathymetry and sidescan sonar imagery
- E-6.- Calvet, J., Navarro, F., Ximenis, L., García, D., Molina, C. Cambios de volumen, balance de masas y velocidades del hielo en los glaciares de Península Hurd (Isla Livingston, Antártida) durante el periodo 1956-2000
- M-3.- Calvo Ruibal, N., Durany Castrillo, J., Toja Gómez, R., Vázquez Cendón, C. Simulación numérica de algunos problemas termomecánicos y termohidrodinámicos en Glaciología
- E-2.- Camacho, A., Rochera, C., Rico, E., Petz, W., Fernández Valiente, E., Toro, M., Vinocur, A., Vincent, W.F., Quesada, A. Interacciones bióticas en un lago antártico
- T-8.- Camerlenghi, A., Rebesco, M., Geletti R., Canals, M. Margin architecture reveals the transition to the modern Antarctic Ice Sheet (AIS) at about 3 Ma
- F-4.- Cano, E., López-González, P.J. El género Colossendeis Jarzynsky, 1870 en Tierra Victoria (Mar de Ross), evaluación de los caracteres taxonómicos útiles para identificar la especies
- Q-7.- Carmona, E., Almendros, J., Ibáñez, J. M., Saccorotti, G. Caracterización de sistemas de fractura utilizando localizaciones precisas de multipletes registrados con antenas sísmicas en Isla Decepción (Antártida)
- S-8.- Casas, D., Estrada, F., Ercilla, G. El margen continental oeste de la Península Antártica: Bransfield y Palmer
- S-1.- Caselli, A.T., Bengoa, C.L., A gusto, M.R., Badi, G. y Ibáñez, J.M. Análisis comparativo de la geoquímica de gases y la actividad sísmica de la Isla Decepción, Antártida: posible efecto sello sobre el acuífero
- E-1.- Córdoba-Jabonero, C., Parrondo, M.C., Gil, M., Yela, M., Ochoa, H., Kristinsson, J. Biological impact of UV penetration in ice-covered environments under Antarctic and Arctic ozone depletions
- G-3.- Cristobo, F.J., Ríos, P., Ballesteros, M., Taboada, S., Avila, C. Esponjas del Orden Poecilosclerida recolectadas en el Mar de Weddell (Antártida) durante la expedición Ecoquim
- K-1.- De la Uz, S., Anadón, N. Hoplonemertinos (Nemertea) bentónicos del Mar de Bellingshausen y Península Antártica (Bentart-03)
- Q-1.- Durán, J.J., Cuchi, J.A., López-Martínez, J., Serrano, E., Martínez-Navarrete, C., Moreno, L., Mink, S. Características hidroquímicas de las aguas de la Isla Livingston, Shetland del Sur, Antártida Occidental
- Q-2.- Elosegui, P. and the Helheim 2006 Team GPS constraints on the mechanism of glacial earthquakes in Helheim glacier, Greenland
- P-7.- Emelianov, M. Estructura fina y de mesoescala de las zonas frontales del sector Atlántico del Océano Austral
- M-6.- Escutia, C., Cooper, A.K., Eittreim, S.L., Tanahashi, M., Ishihara, T., De Santis, L., Domack, E., Dunbar, R. IODP drilling of the Wilkes Land margin to obtain the missing Cenozoic record of East Antarctic Ice Sheet Evolution
- D-1.- Exposición Fundación Regiones Polares
- D-4.- Fernández-Sánchez, J.F., Fernández-Ibáñez, F., Segura-Carretero, A., Ibáñez, J.M., Fernández-Gutiérrez, A. Rapid and sensible screening test of Antarctic water for Polycyclic Aromatic Hydrocarbons

- F-7.- **Flores, J.A., Sierro, F.J., Gersonde, R., Scherer, R., Dumbar, R.** ¿Revelan los cocolítóforos un episodio de deshielo masivo en el sector Atlántico del océano Antártico en el Pleistoceno temprano?
- F-8.- **Gamboa, L.A.P., Shimabukuro, S., Galindo Zaldívar, J., Maldonado, A.** Origen de la creta con Braarudosphaera oligocena del Atlántico meridional y posible relación la apertura del Paso de Drake
- L-3.- **García, F.J., Manjón-Cabezas, M.E., Parapar, J., Peña, A., Ramos, A., Saiz, J.I., Saucedo, T., Troncoso, J.S.** Campaña BENTART 2006: BENTART 2006: Benthos de sustrato blando del Mar de Bellingshausen
- S-7.- **García, M., Ercilla, G., Alonso, B.** Caracterización morfológica del margen continental de la Cuenca de Bransfield. Procesos sedimentarios durante el último periodo glacial
- C-5.- **García, R., Torres, C., Redondas, A., Cuevas, E.** Sistema de adquisición y procesado de datos en tiempo real para la Red Antártica de Radiómetros NILU-UV6
- D-8.- **García Ayala, J.J., Ramos López, R.** Renovación de las estaciones meteorológicas automáticas (EMA's) del INM en las bases antárticas españolas
- E-3.- **García-Castrillo G.G. y P. López.** Impacto y supervivencia de organismos antárticos capturados con draga de tipo Agassiz durante las campañas del proyecto Bentart
- K-2.- **García Moreno, F.T., Gómez Bautista, M., Pedraza Díaz, S., Ortega Mora, L.M.** Parásitos gastrointestinales en poblaciones de fócidos y otáridos en Islas Shetland del Sur y Península Antártica
- T-2.- **García-Yeguas, A., Ibáñez, J., Almendros, J., Zandomeneghi, D., Abella, R.** Anomalías de propagación de ondas sísmicas en el volcán Isla Decepción (Antártida) usando disparos registrados en antenas sísmicas
- K-6.- **Gasol, J.M., Pedrós-Alió, C.** Actividad bacteriana en aguas antárticas: Variabilidad estacional, oceanográfica, circadiaria y metodológica
- E-4.- **Gavilán, R., Sánchez Mata, D., García Sancho, L.** Patterns of biodiversity in high mountain communities in Tierra del Fuego
- E-8.- **Geyer, A., Casas, J.M., Pallàs, R., Gimeno, D., Calvet J.** Chemical and physical characterization of tephra layers from Livingston Island (Antarctica): ice drill data and methodological considerations
- C-3.- **Gili, J.-M., Broglia, E., Orejas, C., Zabala, M., Alvá, V., López-González, P.J., Ros, J.D., Filipe, P., Teixidó, N., Rossi, S., Alfonso, I., Sabater, F., Rodríguez, E., Isla, E., Gasol, J.M., Pagès, F., Pedros-Alió, C., Vert, N., Conradi, M., Mejina, C., Vendrell, B., Homs, P., Segarra, D., Calderer, A.** Ciencia para todos en la Antártida: un proyecto de divulgación científica basado en las expediciones antárticas en el marco del programa EASIZ-SCAR
- Q-9.- **Giner-Robles J.L., R. Pérez-López, M.A. Rodríguez-Pascua, J.M. González-Casado, J.J Martínez-Díaz, C. Paredes y R. de la Vega.** Estado de esfuerzo/deformación en los límites de la Placa Antártica
- G-7.- **González, F.J., Somoza, L., Bohoyo, F., Martín Rubí, J.A., Puga, E., Maldonado, A., Lunar, R., Martínez-Frías, J.** Costras de Fe-Mn ricas en Co en dorsales oceánicas del Mar de Scotia (Antártida): procesos de biomineralización en ambientes extremos
- P-8.- **Gordo, C., Sangrá, P., Rodríguez Santana, A., Marrero, A., Antoranz, A., Cortes, J.** Variabilidad a mesoscala en la Cuenca Central del Estrecho de Bransfield, (Antártica)
- T-3.- **Gulmezova Litcheva, E., Galindo Zaldívar, J., Maldonado López, A., Sánchez Carrasco, M.A.** Evolution of acquisition and processing techniques of seismic data obtained in Antarctica
- D-2.- **Headland, R. K., Serrano, E.** Lugares de interés Geomorfológico, turismo y usos humanos en la isla Livingston (islas Shetland del Sur, Antártida marítima): un ensayo de evaluación
- B-2.- **Heredia, N., Gallastegui, G., Montes M. J. Nozal F. and del Valle, R. A** The Gondwanic evolution of the Tabarin Peninsula (Antarctic Peninsula)
- N-5.- **Hernández-Arencibia, M., Marrero-Díaz, A., Sangrà, P., Gordo, C., Rodríguez-Santana, A.** Simulación experimental de la Corriente del Bransfield
- L-6.- **Hernández-León, S., Almeida, C., Bécognée, P., Putzeys, S., Lehette, P.** Distribución de la biomasa, pastaje, en relación al frente hidrológico del Estrecho de Bransfield (Antártica) durante el verano austral 2002-2003
- N-7.- **Hernández-Molina, F.J., Bohoyo, F., Galindo-Zaldívar, J., Jabaloy, A., Lobo, F.J., Maldonado, A., Rodríguez-Fernández, J., Somoza, L., Suriñach, E., Vázquez, J.T.** Migración de la Masa de agua Circumpolar Antártica Profunda en el sector central del Mar de Scotia desde el Mioceno superior a la actualidad
- N-8.- **Hernández-Molina, F.J., Larter, R.D., Rebesco, M., Maldonado, A.** Miocene reversal of bottom water flow along the Pacific Margin of the Antarctic Peninsula
- M-5.- **Hernández-Molina, F.J., Naveira Garabato, A., Larter, R., Maldonado, A.** Oceanographic framework and water mass circulation through the Drake Passage Gateway: a new regional compilation
- D-3.- **Justel, A., Tejedo, P., Benayas, J., Rico, E., Quesada, A.** Indicadores físicos y biológicos de impacto humano en la Zona Antártica Especialmente Protegida de Península Byers
- Q-4.- **Lapazaran, J., Navarro, F., Ahlström, A., Rodríguez, R., Reguero, S.** Estudios de georradar en los glaciares de Península Hurd, Isla Livingston, Antártida
- H-2.- **López-González, P.J., Gili J.-M.** A new primnoid genus (Anthozoa: Octocorallia) from the Southern Ocean
- H-3.- **López-González, P.J., Gili, J.-M.** A new species of shallow waters sea pen (Octocorallia: Pennatulacea) from Antarctica
- H-4.- **López-González, P.J., Rodríguez, E.** A new symbiotic relationship between sea anemones and isidid gorgonians (Cnidaria: Anthozoa) in Antarctica
- A-4.- **López-Martínez, J., Trouw, R.A.J., Maestro, A., Simoes, L., Serrano, E., Galindo-Zaldívar, J., Medeiros, F.F., Mink, S., Paciullo, F.V.P., Ribeiro, A., Trouw, C.C., Valeriano, C.M.** Mapas geológico y geomorfológico de la Isla Elefante, Islas Shetland del Sur

- L-7.- Lubián, L.M., Rodríguez-Gálvez, S., Lama, C.M., García, C.M., Corzo, A., Gordo, C., Sangrá, P.** Fitoplancton del Estrecho de Bransfield: Abundancia, distribución y acoplamiento físico-biológico durante el verano de 2002-2003
- R-2.- Machío, F., Vasilenko, E., Navarro, F.** Un nuevo georradar para aplicaciones glaciológicas
- H-8.- Macías F.A., Ascensión Torres, Joanne G. Romagni, and Juan C. G. Galindo** Phytotoxic activity of antarctic lichen and plant species. The starting of an allelopathic study.
- R-7.- Maestro, A., López-Martínez, J., Alfaro, P., Durán, J.J., Sanz de Galdeano, C., Galindo-Zaldivar J.** Contribuciones al conocimiento de la neotectónica, fracturación y campos de esfuerzos en la región septentrional de la Península Antártica
- R-6.- Maestro, A., López-Martínez, J., Montes, M., Nozal, F., Santillana, S.N., Marenssi S.A.** El campo de esfuerzos cenozoico en la isla Seymour (Mar de Weddell, Antártida)
- R-8.- Maestro, A., Somoza, L., Rey, J., Martínez-Frías, J., López-Martínez J.** Aportaciones del análisis mesoestructural para reconstruir la evolución tectónica de la Isla Decepción (Islas Shetland del Sur, Antártida)
- S-5.- Maldonado, A., Bohoyo, F., Galindo-Zaldivar J., Hernández-Molina, F. J., Jabaloy A., Lobo, F. J., Rodríguez-Fernández, J., Suriñach, E., Vázquez, J. T.** Tectonics, seismic stratigraphy and paleoceanography of the ocean basins near the Scotia-Antarctic plate boundary during the Cenozoic
- A-6.- Marrero, J. M., Ramos, M., Hidalgo, M.A., Vieira, G., Gruber, S., Hauck, C., Blanco, J.J., Ortiz, R.** Spatial modelling of the summer radiation budget in Deception Island (Antarctic Peninsula)
- Q-6.- Martínez Díaz, J.J., Pérez-López, R., Giner-Robles, J.L., Paredes, C., Rodríguez-Pascua, M.A., Bustamante, R., González-Casado, J.M., de la Vega, R.** Evolución morfotectónica y volcánica reciente del sector nororiental de la Isla Decepción: La erupción de 1970
- F-2.- Metcheva, R., Golemanski, V., Zehtindjiev, P., Dimitrov, K., Beltcheva, M., Bezrukov, V., Yurukova, L., Yankov, Y.** Comparative biological and monitoring research of Gentoo penguins (*Pygoscelis papua*) in terms of their conservation as a living resource
- B-1.- Montes, M., Martín-Serrano, A., Nozal, F., Del Valle, R.** Geología del NE de la Península Tabarín (Bahía Esperanza, Península Antártica)
- G-2.- Moya, F., Ramos, A. & Manjón-Cabeza, M.E.** Resultados preliminares del estudio de la comunidad de Asteroideos del Mar de Bellingshausen (primera campaña: Bentart 2003)
- J-2.- Nappo, M., Bastida, J., Núñez, L., Taboada, S., Avila, C.** Natural products from Antarctic benthic invertebrates: the gorgonian *Thouarella* sp and the bryozoan *Alcyonium flabelligerme* Kirckpatrick, 1902
- R-1.- Navarro, F., Glazovsky, A., Glowacki, P., Jania, J., Macheret, Yu., Vasilenko, E., Lapazarán, J.** Estudios radioglaciológicos en Spitsbergen, Ártico
- L-8.- Navarro, N., Duarte, C.** Metabolismo de la comunidad planctónica en el Océano Sur
- E-7.- Navas, A., López-Martínez, J., Casas, J., Machín, J., Durán, J.J., Serrano, E., Cuchi, J.A., Mink, S.** Características de los suelos sobre diferentes sustratos en las Islas Shetland del Sur. El caso de la Isla Livingston
- K-5.- Neale, P.J., Sobrino, C., Gargett, A., Kim, H.-C., Franklin, L., Phillips-Kress, J.** Effects of vertical mixing on phytoplankton photoinhibition by UV radiation in the Ross Sea polynya *Phaeocystis* bloom
- K-7.- Nevot, M., Deroncelé, V., Bozal, N., Montes, M^ºJ., Mercadé, M^ºE., Guinea, J.** Characterization of outer membrane vesicles released by the psychrotolerant bacterium *Pseudoalteromonas antarctica* NF₃
- M-1.- Nozal, F., Martín-Serrano, A., Montes, M., Del Valle, R.** Ablación glaciar y termokarst en el entorno de Bahía Esperanza (Península Antártica)
- L-4.- Olaso, I., Sorbe, J.C., Matallanas, J., Preciado, I.** Contribución del bentos móvil en la dieta de los peces bentónicos nototéridos en el mar de Bellingshausen
- K-8.- Ortega-Retuerta, E., Reche, I., Pulido-Villena, E., Duarte, C.** El bacteriplancton activo del Océano Sur: análisis comparativo de metodologías y factores de regulación
- M-2.- Otero, J., Navarro, F., Martín, C., Hindmarsh, R., Corcuera, M.I., Cuadrado, M.L.** Simulaciones numéricas de termomecánica glaciar
- K-3.- Parapar, J., Gambi, M.C., López, E., Núñez, J., Laborda, A.** Poliquetos de la Campaña Bentart 2006: Plan de trabajo y resultados preliminares
- C-2.- Parapar, J., García-Álvarez, O., Ramos, A., Moya, J.A.** El reto de la divulgación científica: Las Campañas Bentart en la Antártida
- Q-8.- Paredes, C., Martínez-Martínez, C., Pérez-López, R., Giner-Robles, J. L., de la Vega, R., Martínez-Díaz, J.J., de Vicente, S.** Correlación entre la morfotectónica y la fisiografía costera de Isla Decepción mediante análisis multifractal
- P-5.- Paredes, C., Pérez-López, R., Giner-Robles, J. L., de la Vega, R., Martínez-Díaz, J.J., de Vicente, S.** Identificación de zonas activas en Isla Decepción mediante reconocimiento de patrones
- B-5.- Parrondo, M.C., Yela, M., Gil, M., Araujo, J., Ochoa, H., Kristinsson, J.** Variabilidad de la distribución de ozono en las regiones polares a partir de datos de ozonosondeos en Belgrano y Keflavik
- C-7.- Parrondo, C., Yela, M., Gil, M., von der Gathen, P., Ochoa, H.** Stratospheric temperatures over Antarctica in winter: Discrepancy between observations and models and its implication on the total ozone depletion estimation
- J-6.- Pedrós-Alió, C. and the ICM group** The microbial food web during the Arctic winter in Franklin Bay. Spanish contribution to Project CASES

- P-6.- Pérez-López, R., Giner-Robles, J.L., Paredes, C., Martínez-Díaz, J.J., Rodríguez-Pascua, M.A., de la Vega, R., González-Casado, J. M.**Caracterización de la deformación en Isla Decepción mediante el estudio fractal de morfoestructuras
- Q-5.- Pérez-López, R., Giner-Robles, J.L., Paredes, C., Martínez-Díaz, J.J., Rodríguez-Pascua, M.A., González-Casado, J. M., Paredes, C., de la Vega, R., Rosel, J., Maestro, A., Somoza, L., García, A.** Análisis preliminar de estructuras tectónicas sincaldera en Isla Decepción
- H-7.- Pintado, A., Green, T.G.A., Sancho, L.G.** Antártida marítima versus Antártida continental. Adaptación y tolerancia en poblaciones de Umbilicaria decussata (Vill.) Zahlbr
- J-1.- Primo, C., Vázquez, E.** Distribución de los elementos biogeográficos de la ascidiofauna en la Región Antártica y regiones adyacentes
- C-8.- Puentedura, O., Yela, M., Navarro, M., Iglesias, J., Rodríguez, S., Ochoa, H.** NEVA: Nuevo espectrómetro ultravioleta-visible para la medida de componentes atmosféricos minoritarios en la Antártida
- G-8.- Puga, E., Barnolas, A., Bohoyo, F., Díaz de Federico, A., Galindo-Zaldívar, J., Gambôa, L., González, F.J., Gulmezova, E.L., Hernández-Molina, F.J., Jabaloy, A., Larter, R., Livermore, R.A., Lobo, F.J., Maldonado, A., Medialdea, T., Nelson, H., Rodríguez-Fernández, J., Schreider, A.A., Somoza, L., Suriñach, E., Vázquez, J. T.**Estudio comparativo del magmatismo de la Cuenca Dove, del Mar de Scotia, con el de las dorsales oceánicas antárticas y el de las Islas Shetland del Sur
- F-5.- Puga, E., Galindo-Zaldívar, J., Díaz de Federico, A., Dimos, D., Pimpirev, Ch., Bohoyo, F., Maldonado, A.** Procesos post-magmáticos diferenciales en las Islas Livingston, Rey Jorge, Decepción y en la Cuenca Dove del Mar de Scotia (Antártida)
- L-1.-Ramil F., PM Arnaud, JM Castro, MC Gambi, CM López-Fé, F. Moya, E. Mutschke, I. Olaso, M. Manjón, J. Parapar, A. Peña, AA Ramos-Esplá, P. Ríos. y A. Ramos.** La epifauna de la Antártida del Oeste: Una visión global basada en las campañas Bentart
- M-4.- Ramos, M., Vieira, G., Gruber, S., Hauck, C., Blanco, J.J., García, J.A., Hidalgo M.A.** Active layer temperatures during the cold season in Livingston and Deception Islands (Antarctic Peninsula)
- N-1.- Ramos, M., Vieira, G., Gruber, S., Hauck, C., Blanco, J.J., Tomé, D.** Ground enthalphy balance in Livingston Island (Antarctic Peninsula)
- J-7.- Reche, I., Ortega-Retuerta, E., Pulido-Villena, E., Duarte, C.** Interacciones Complejas en el Ecosistema Pelágico del Océano Sur (ICEPOS): distribución de la materia orgánica disuelta cromofórica, su biosíntesis bacteriana y fotoreactividad
- C-6.- Redondas, A., Guirado, C., Cuevas, E., Torres, C.** Actividades polares del Centro Europeo de Calibración Brewer (Regional Brewer Calibration Center- Europe)
- J-8.- Rochera, C., Camacho, A., Fernández, E., Rico, E., Quesada, A.** Respuesta fisiológica y estructural de la comunidad fotosintética de un tapete microbiano en la Antártida marítima como respuesta a la adición de nutrientes
- G-4.- Ríos, P., Cristobo, F.J.** Esponjas del Género *Mycale* Gray, 1867 procedentes de las expediciones antárticas españolas: Bentart 94/95/03 y Gebrap 96.
- J-3.- Rodríguez, E., López-González, P.J.** A new species of sea anemone (Actiniaria, Anthozoa) from the eastern Weddell Sea, Antarctica
- N-4.- Rodríguez-Arias Fernández, M., Cuevas Hidalgo, S., Serrano Pérez, A., Bolós Lacave, V.J.** Estimación numérica de flujos y parámetros térmicos del permafrost. Isla Decepcion, Antártida
- N-6.- Rodríguez-Santana, A., Gordo C., Sangrà, P., Antoranz, A., Cortes, J., Marrero-Díaz, A.** Difusividad diapicna en el Estrecho de Bransfield
- M-7.- Romero, O.E., Bárcena Pernía, M.A., Kim, J.H., may, I., Zahn, R.** Effect of Southern Ocean and Agulhas retroreflection on paleoproductivity during the last two glacial cycles
- M-8.- Rosell, A., Escala, M., Martínez, A., Núñez, N.** Paleoceanography of polar oceans: development of climate proxies and their application to reconstruct past surface ocean hydrography and the marine carbon cycle
- N-2.- Sánchez-Mata, A., Lastra, M., García, M., Mora J.** Efecto de las variaciones térmicas del sustrato piroclástico en la distribución de la biodiversidad bentónica intermareal, a lo largo de un gradiente espacial en Isla Decepción (Islas Shetland del Sur, Antártida)
- N-3.- Serrano, E., López Martínez, J., Durán, J.J., Navas, A.** Medio periglaciar y permafrost en las islas Shetland del Sur (Antártida marítima)
- S-2.- Serrano Bermejo, I., Martín Martínez, J.B., Jiménez Lloret, A., Rossi, N., Almendros González, J.** Actividad sísmica en Isla Decepción durante la campaña 2005-2006
- P-1.- Serrano Pérez, A., Rodríguez-Arias Fernández, M., Cuevas Hidalgo, S.** Un análisis sobre patrones temporales en el régimen térmico de suelos permahelados en la Isla Decepción (Antártida)
- F-6.- Somoza, L., Martínez-Frías, J., Rey, J., Maestro, A., Lunar, R., Delgado, A., Smellie, J.L., Martín Rubí, J. A., González, F.J., Bohoyo, F., León, R.** Hidrotermalismo submarino en la Antártida: Investigación de biomineralizaciones asociadas a ambientes extremos
- T-4.- Suriñach, E., Flores, E.L., Chávez, R.E., Galindo-Zaldívar, J., Maldonado, A.** Características de la corteza en áreas del Paso del Drake a partir de inversión conjunta de datos gravimétricos de barco y satélite.
- K-4.- Taboada, S., Núñez, L., Edo, M., Cristobo, F.J., Ríos, P., Ramos, A.A., Bosch, A., Ballesteros, M., Avila, C.** Benthic invertebrates from the Weddell Sea collected within the ECOQUIM projects: taxonomical and biogeographical considerations
- B-7.- Toledano, C., Cachorro, V.E., Ortiz de Galisteo, P., de Frutos, A., Rodríguez, E., Berjón, A., Bastidas, A., Prats, N., Mogo, S., Torres, B., Gausa, M., Frioud, M., Blindheim, S., Stebel, K., Myhre, C., Hansen, G.** Propiedades de los aerosoles atmosféricos en ALOMAR (Noruega, 69°N, 16°E)

- R-4.-** Torcal Medina, F., Calvet Porta, J., Brotons Alabau, Ll., Vilaplana Fernández, J.M., Serrano Bermejo, I., Enrique, J., Carmona Rodríguez, E. Tidewater calving on Livingston Island ice cap (South Shetland Islands). Seismic detection and influence of environmental variables
- H-5.-** Toro, M., Tejero, I., Romero, L., Rochera, C., Camacho, A., Quesada, A. Análisis de diatomeas y pigmentos fotosintéticos subfósiles en el sedimento de un lago de la Península Byers (Isla Livingston, Antártida) como indicadores de cambios ambientales
- B-6.-** Torres, C., Redondas, A., García, R., Cuevas, E., Meinander, O., Araujo, J., Ochoa, H., Deferrari, G. Evaluación del contenido total de ozono en la Región Antártica con el Radiómetro NILU-UV6
- L-2.-** Troncoso, J.S., Vazquez, E., Aldea, C. Macrozoobentos recolectados en la Campaña CIEMAR 99/00
- F-3.-** Tovar-Sánchez, A., Duarte, C.M., Hernández-León, S., Sañudo-Wilhelmy, S.A. Antarctic krill (*Euphausia superba*) central node for trace metal cycling in the Southern Ocean.
- J-4.-** Varela, M.M., Tatián, M., Ramos, A.A. Respuesta fisiológica de la ascidia *Cnemidocarpa verrucosa* a incrementos de material particulado inorgánico: resultados preliminares
- H-6.-** Unrein, F., Izaguirre, I., Massana, R., Balagué, V., Gasol, J.M. Biodiversidad y ecología de las comunidades plantonómicas microbianas en lagos de la Península Antártica y Shetland del Sur
- R-3.-** Vasilenko, E., Macheret, Y., Navarro, F., Romero J.L., Corrales, J. M. Estudios de georadar en los glaciares de Isla Livingston, Antártida
- S-6.-** Vázquez, J.T., Hernández-Molina, F.J., Jabaloy, A., Bohoyo, F., Galindo-Zaldívar, J., Lobo, F.J., Maldonado, A., Rodríguez-Fernández, J., Somoza, L., Suriñach, E. Relaciones Tectónica – Morfología a lo largo de la Fosa de las Shetland del Sur (Margen Pacífico de la Península Antártica)
- J-5.-** Velázquez, D., Rochera, C., Justel, A., Toro, M., Quesada, A. Temperature dependency of photosynthesis and N₂-fixation in microbial mats from two different antarctic latitudes
- H-1.-** Vendrell, B., Orejas, C., Gasol, J.M., Sabater, F., Gili, J.M. Ecología trófica de esponjas de las plataformas del Mar de Weddell: una primera aproximación al papel de los suspensívoros bentónicos activos en los procesos de acoplamiento plancton-bentos en la alta Antártida
- G-5.-** Vera de la Puente, M.L. How native vascular plants are expanding in Livingston Island?
- G-6.-** Vera de la Puente, M.L. Reproductive performance of Antarctic vascular plants under climate change scenario
- P-2-** Vieira, G., Hauck, C., Gruber, S., Blanco, J.J., Ramos, M. Geophysical surveying for permafrost research in the Maritime Antarctic (Livingston and Deceptions Islands)
- P-3.-** Vieira, G., Ramos, M., Melo, R., Capinha, C., Mora C., Mora, P. Temporal and spatial analysis of the daily radiation balance during the summer. A comparison between Livingston and Deception islands, Maritime Antarctic
- P-4.-** Vieira, G., Ramos, M., Neves, M., Mora, C., Gruber, S., Hauck, C., Hoelzle, M., Blanco, J.J., Ortiz, R., Hidalgo, M.A., Tomé, D., Trindade, A., Batista, V., Capinha, C., Melo, R.. PERMAMODEL: An interdisciplinary proposal for permafrost research in the Maritime Antarctic in the framework of the IPY Core Projects TSP and ANTPAS
- B-8.-** Yela, M., Alonso, I., Araujo, J., Díaz, S., Deferrari, G., Iglesias, J., Gil, M., Navarro, M., Ochoa, H., Rodríguez, S. Evolución de la columna total de NO₂ y O₃ en el área antártica y subantártica. Consolidación de las series de datos y validación de datos de NO₂ procedentes de SCIAMACHY /ENVISAT
- A-5.-** Yela, M., Parrondo, C., Gil, M., Rodríguez, S., Araujo, J., Ochoa, H., Deferrari, G., Díaz, S. Inusual comportamiento de la estratosfera antártica durante la primavera austral de 2002
- S-3.-** Zandomeneghi, D., Almendros, J., Barclay, A.H., Ibáñez, J. M. Preliminary Seismic Tomography of Deception Island Volcano, South Shetland Islands